

Fitoplancton del río Tehuantepec, Oaxaca, México y algunas relaciones biogeográficas

José L. Moreno-Ruiz¹⁻⁴, Margarito Tapia-García¹, Ma. Del Carmen González-Macías³ & Ma. Guadalupe Figueroa-Torres⁴

1 Universidad Autónoma Metropolitana-Iztapalapa, C.P. 09340, A.P. 55-535, México D.F., México; jlmr64@yahoo.com; mtg@xanum.uam.mx

2 Instituto de Geología, UNAM, México D.F., México.

3 Instituto Mexicano del Petróleo, Subdirección de Protección Ambiental, Estudios Ecológicos, C.P. 07730, A.P. 14-805, México D.F., México; magonzal@www.imp.mx

4 Universidad Autónoma Metropolitana-Xochimilco, Fisiología, C.P. 04960, México D.F., México; figueroa@correo.xoc.uam.mx

Recibido 02-XII-2005. Corregido 05-III-2007. Aceptado 28-VIII-2007.

Abstract: Phytoplankton from Tehuantepec River, Oaxaca, Mexico and some biogeographical relationships. Phytoplankton species collected from the limnetic to euryhaline sections of Tehuantepec River were identified, classified and compared with regional information from Mexico and South America. We collected 15 samples every three months from July 1997 through August 1998 with a 20 µm net and a Van Dorn bottle. Indicator values and a code checklist are included. A total of 58 families, 121 genera, 273 species, one subspecies, 75 varieties, 13 forms and one morphotype were identified in the taxa Bacillariophyta (42.0 %), Chlorophyta (29.0 %), Cyanoprokaryota (18.0 %), Euglenophyta (5.0 %), Dinophyta (3.0 %), Cryptophyta (2.0 %) and Chrysophyta (1.0 %). The predominant families were Scenedesmaceae (24 species), Oocystaceae (22), Bacillariophyceae (21), Chaetocerotaceae (15) and Euglenaceae (14). Five families, eight genera, 72 species, 45 varieties and eight forms are first records for Mexico. The species *Chroococcus turgidus*, *Microcystis flos-aquae* and *Pseudanabaena limnetica* (which produce massive blooms or red tides) are important in this river of moderate water quality. Rev. Biol. Trop. 56 (1): 27-54. Epub 2008 March 31.

Key words: phytoplankton, neotropical, limnetic, euryhaline, indicator values, massive blooms, water quality.

El conocimiento del fitoplancton de agua dulce, salobre y marino en México aún es pobre a pesar de la existencia de antecedentes que datan del siglo XIX, y que se concentran principalmente en la región central del país. Asimismo, se han proporcionado varios listados florísticos en los que se incluyen algunos valores indicadores (Ortega *et al.* 1995, Moreno-Ruiz 2000, Moreno 2003), pero que omiten a muchas especies raras, por lo que todavía se requiere realizar el estudio de estas algas microscópicas para determinar su dinámica y comprender la complejidad de su estructura ecológica. Sin embargo, dada la amplitud y extensión del territorio mexicano, se necesita aplicar un enfoque

regional para conocer éstas características ecológicas en una escala que suministre mayor precisión a las investigaciones que aquí se desarrollan (Moreno *et al.* 1996).

La subregión oaxaqueña presenta una gran problemática ambiental y hasta el momento, aún no se determinan todas las repercusiones sociales y ecológicas, que en el río Tehuantepec producen el desarrollo productivo, el crecimiento demográfico, las actividades industriales y los desastres naturales. El problema es delicado, si se considera también que es una zona pobemente estudiada respecto a sus recursos bióticos. Por lo anterior, en el presente trabajo se contribuye con el conocimiento

de la composición del fitoplancton del río Tehuantepec, Oaxaca, se proporcionan datos de su distribución en México, en la región neotropical, valores indicadores ecológicos y un código para facilitar su manejo.

MATERIALES Y MÉTODOS

Descripción del área de estudio: el área de estudio se enmarca entre las coordenadas geográficas $16^{\circ}10.405'$ - $16^{\circ}22.741'$ N y $95^{\circ}07.99'$ - $95^{\circ}17.425'$ W (Anónimo 1981), en el Istmo de Tehuantepec en la provincia denominada Planicie Costera Suroriental (Rzedowsky 1978). El clima es cálido subhúmedo con temperatura promedio de 27.3°C , con la oscilación de las temperaturas medias anuales menores a 5°C (García 1981). Existen dos épocas climáticas, la de sequía (noviembre a abril-mayo) y la de lluvias (mayo-junio a octubre). En la época de sequía y principalmente de enero a marzo, azotan fuertes vientos del norte denominados "Tehuantepecos o Tehuantepecanos" (Monreal-Gómez y Salas de León 1998). La limnología del río Tehuantepec muestra características heterogéneas, con valores elevados, similares a los que se han indicado en aguas continentales en áreas tropicales (Huszar *et al.* 1998). Con valores promedio de la profundidad en las épocas climáticas de sequía y lluvia de: 0.9-1.0 m, temperatura entre 26.7 - 30.5°C , salinidad con 2.381-2.137 ‰, pH de 8.3-8.0, dureza (CaCO_3) 150.6-144.9 mg, oxígeno 9.557-10.185 ppm, amoniaco 0.050-0.057 ppm, nitratos 0.193-0.539 ppm, nitrógeno total 0.615-4.663 ppm, ortofosfatos 0.025-0.060 ppm, fósforo total 0.042-0.097 ppm, relación N:P 12.192-74.156, y la clorofila *a* con 2.996-7.012 mg m⁻³ (Anónimo 2000, Moreno-Ruiz *et al.*, en prep.).

Se recolectaron 15 muestras de agua trimestralmente durante un año (julio 1997 a agosto 1998), en las dos márgenes y la parte central de cinco puntos distribuidos a lo largo de los últimos 30 km del río Tehuantepec. Los materiales se obtuvieron del nivel superficie con una red de 20 µm de abertura de malla,

y del nivel intermedio en la columna de agua con una botella Van Dorn de 2 l de capacidad, mismos que se vaciaron en botellas de vidrio de 250 ml; se adicionó lugol como preservador. Asimismo, se limpió material con los métodos estándar referidos por Moreno (2003) para la elaboración de laminillas. Posteriormente se efectuó el análisis cualitativo y cuantitativo de materiales temporales por medio del vaciado de 2 ml de cada muestra en una cubeta de sedimentación, así como la revisión de cada laminilla con el uso del fotomicroscopio invertido LEITZ-WEZLAR/DIAVERT y el barrido de transectos diamatrales. Con la finalidad de realizar observaciones ultraestructurales se prepararon materiales adicionales (Moreno 2003) y se utilizaron los microscópios electrónicos de transmisión y barrido JEOL JEM-1200EX2 y JEOL JSM-5410LV, respectivamente.

La determinación, ordenación sistemática y los datos de la composición ecológica (valores indicadores) de los taxones (pH, salinidad, suministro metabólico de nitrógeno, relación nitrógeno total: fósforo total, saprobiedad, preferencia trófica, forma de vida, preferencia térmica, florecimientos, frecuencia o distribución y dominancia) se elaboraron con datos originales, de acuerdo a los planteamientos de Caljon (1983), Contreras-Espinosa *et al.* (1994), Van Dam *et al.* (1994), Moreno *et al.* (1996), Moreno-Ruiz (2000), Anónimo (2000), Siqueiros-Beltrones (2002) y Moreno (2003).

Composición ecológica o valores indicadores: la clasificación de los valores indicadores se presenta en el Cuadro 1. Con el promedio de los 11 valores de las variables originales (pH-dominancia) de cada taxón, se obtuvo el valor indicador ponderado individual.

Con el promedio del mayor valor que pueden tener las variables utilizadas, se obtuvo el mayor valor indicador de la calidad del agua (baja calidad del agua), la relación entre tres de este valor marcó el límite superior de la alta calidad del agua, y la multiplicación por tres de este último valor mostró el límite superior de la moderada calidad del agua. Los intervalos para este trabajo se proporcionan en el Cuadro 1.

CUADRO 1
Clasificación de la composición ecológica o valores indicadores

TABLE 1
Classification of ecological composition or indicator values

Potencial de hidrógeno

- 1 acidobiótico, presencia óptima a pH <5.5
- 2 acidófilo, presencia principalmente a pH <7
- 3 circumneutral, presencia principal en valores de pH alrededor de 7
- 4 alcalífilo, presencia principal a pH >7
- 5 alcalibióntico, presencia exclusiva a pH >7
- 6 indiferente, sin óptimo aparente

Salinidad (modificada para caracterizar ecológicamente a los organismos limnéticos y salobres)

- 1 limnobionte estenohalino <0.5 ups
- 2 limnobionte eurihalino 0.5-8 ups
- 3 limnobionte débilmente eurihalino o limnobionte eurihalino de primer grado 0.5-3 ups
- 4 limnobionte eurihalino de segundo grado 3-8 ups
- 5 hifalmirobionte, abunda en agua salobre y se presenta esporádicamente en el mar o agua dulce
- 6 salobre eurihalino 2-20 ups
- 7 salobre inferior o salobre inferior eurihalino 2-10 ups
- 8 salobre superior o salobre superior eurihalino 8-20 ups
- 9 marino eurihalino, vive comúnmente en biotopos marinos
- 10 holeurihalino, existe en agua marina, salobre y en agua dulce

Suministro metabólico de nitrógeno (basado en la literatura y en la mayor concentración de nitrógeno total)

- 1 nitrógeno-autotrófico, tolera concentraciones muy pequeñas de nitrógeno
- 2 nitrógeno-autotrófico, tolera elevadas concentraciones de nitrógeno orgánico
- 3 nitrógeno-heterotrófico facultativo, necesita periódicamente elevadas concentraciones de nitrógeno orgánico
- 4 nitrógeno-heterotrófico obligado, necesita continuamente elevadas concentraciones de nitrógeno orgánico

Relación nitrógeno total:fósforo total

- 1 baja <7 (limitación de nitrógeno)
- 2 moderado, entre 15 y 7
- 3 alto >15 (limitación de fósforo)

Saprobiedad, de acuerdo a los valores sapróbicos individuales de los *taxa*

- 1 xenosapróbico 0-0.5
- 2 oligosapróbico 0.51-1.5
- 3 β-mesosapróbico 1.51-2.5

CUADRO 1 (Continuación)
Clasificación de la composición ecológica o valores indicadores

TABLE 1 (Continued)
Classification of ecological composition or indicator values

4 α -mesosapróbico 2.51-3.5

5 polisapróbico 3.51-4.0

Preferencia trófica, según el índice trófico IT (basado en mg de clorofila a/m³)

Especies oligotróficas, habitan biotopos pobres en nutrientes, equivalen a:

1 ultraoligotrófico (0.000-0.122 mg/m³) IT=0-9

2 α -oligotrófico (0.123-0.340 mg/m³) IT=10-19

3 β -oligotrófico (0.350-0.940 mg/m³) IT=20-29

4 γ -oligotrófico (0.950-2.600 mg/m³) IT=30-39

mesotrófico, equivale a:

oligo-mesotrófico, con

5 α -mesotrófico (2.700-7.200 mg/m³) IT=40-49

meso-eutrófico, con

6 β -mesotrófico (7.300-20.000 mg/m³) IT=50-59

especie eutrófica, habita biotopos ricos en nutrientes, equivale a:

7 α -eutrófico (21.000-55.000 mg/m³) IT=60-69

8 β -eutrófico (56.000-155.000 mg/m³) IT=70-79

9 γ -eutrófico (156.000-425.000 mg/m³) IT=80-89

10 hipereutrófico (\geq 426.000 mg/m³) IT=>90

11 eurítrófico, sin preferencia por biotopos ricos o pobres en nutrientes

Forma de vida

1 bética

2 perifítica

3 plánctica

Preferencia térmica

1 oligotérmica (-3 °C)

2 oligo-mesotérmica

3 meso-oligotérmica

4 mesotérmica (18 °C a -3 °C)

5 meso-politérmica (>18 °C-35 °C)

6 poli-mesotérmica

7 euritérmica (alta temperatura)

CUADRO 1 (Continuación)
Clasificación de la composición ecológica o valores indicadores

TABLE 1 (Continued)
Classification of ecological composition or indicator values

Florecimientos

- 1 asociado
- 2 no masivo ($\geq 1\,000$ células ml^{-1})
- 3 masivo ($\geq 10\,000$ células ml^{-1})
- 4 hipermasivo ($\geq 50\,000$ células ml^{-1})

Frecuencia o distribución

- 1 muy baja (alrededor del 10%)
- 2 baja (11-30%)
- 3 moderada (31-50%)
- 4 ligeramente alta (51-75%)
- 5 alta (76-100%)

Dominancia

- 1 no dominante <1
- 2 dominante ≥ 1

Intervalos del valor indicador de la calidad del agua

- ≤ 1.818 alta calidad del agua
- 1.819-3.636 moderada calidad del agua
- 3.637-5.455 baja calidad del agua

Simbología del potencial de hidrógeno (pH), salinidad (H), suministro metabólico de nitrógeno (N), relación nitrógeno total-fósforo total, saprobiedad (IS), preferencia trófica (Tp), forma de vida (Lf), preferencia térmica (T), florecimientos (B), frecuencia o distribución (F), dominancia (D) e intervalos del valor indicador de la calidad del agua (IVICA) de acuerdo a Caljon (1983), Contreras-Espinosa *et al.* (1994), Van Dam *et al.* (1994), Moreno-Ruiz (2000, 2005) y Moreno (2003).

El promedio de los valores indicadores ponderados corresponde al valor indicador de la calidad del agua de los taxones analizados (Apéndice 1), y es el que se compara con los intervalos referidos en el párrafo anterior.

Listado florístico y distribución: para comparar la distribución de las especies presentes en el río Tehuantepec con los estudios realizados en el resto del país, se consultó la información referida por 65 autores desde

1838 hasta 2003, mismos que se mencionan en Moreno-Ruiz (2005). Con la adición de nueva información a través del análisis de materiales recolectados por los autores del presente trabajo en los 31 estados y localidades de la República mexicana. El material fósil pertenece al Mioceno tardío (Moreno-Ruiz y Carreño 1994), con su recolección por parte de personal del Instituto de Geología de la UNAM y del primer autor. La ilustración y morfometría de las especies sobresalientes se presentan en las

obras de Moreno-Ruiz (2000 y 2005). Con la intención de conocer parte de la estructura de las comunidades fitopláncticas, se aplicó el índice: riqueza de especies (N_0) referido por Moreno (2003).

Para el análisis de las algas microscópicas del río Tehuantepec se estructuró una matriz con el valor indicador ponderado de cada taxón (Apéndice 1), mismo que se estandarizó de acuerdo con Lepistö y Rosenström (1998). En el análisis biogeográfico, se construyó otra matriz binaria de presencia y ausencia de los taxones compartidos entre el río y los del resto del país. Con ambos datos, se clasificaron las estaciones de muestreo, los estados y localidades del país a través del agrupamiento de mínima variancia (método de Ward 1963) y su corrimiento se realizó con el paquete estadístico “STATISTICA” v 5.1 de StatSoft Inc.

RESULTADOS

Listado florístico: de acuerdo con la composición micoalgal, se registraron 298 taxones, pertenecientes a siete divisiones, 58 familias, un *incertae sedis*, 121 géneros, 273 especies, una subespecie, 75 variedades, 13 formas y un morfotipo (Apéndice 1).

La División Bacillariophyta sobresalió con 125 taxones (42.0 %), Chlorophyta tuvo 88 taxones (29.0 %), Cyanoproctaryota exhibió 53 (18.0 %), Euglenophyta mostró 14 (5.0 %), Dinophyta tuvo nueve (3.0 %), Cryptophyta exhibió cinco (2.0 %) y Chrysophyta cuatro (1.0 %).

Las familias mejor representadas fueron Scenedesmaceae (24 especies), Oocystaceae (22), Bacillariophyceae (21), Chaetocerotaceae (15) y Euglenaceae (14) quienes mostraron una considerable riqueza de especies.

Comunidades: el fitoplancton exhibió una alta riqueza de especies (157) y estuvo dominado por las cianoproctariotas: *Aphanizomenon flos-aquae*, *Chroococcus minutus*, *Microcystis flos-aquae* y *Pseudanabaena limnetica*; las diatomeas: *Aulacoseira granulata* var. *granulata*

f. *granulata*, *Cyclotella meneghiniana* y *Cyclotella stelligera*. Asimismo, se registró en el plancton una menor riqueza de especies perifíticas (26), con la dominancia de *Leptolyngbya tenuis* (Apéndice 1).

En conjunto con las algas anteriores y de acuerdo al criterio de Caljon (1983), se reconocieron microalgas pertenecientes a la comunidad bética. Este grupo presentó una baja riqueza de especies (62), y en él, sobresalieron *Chroococcus palidus* y *Peridiniopsis polonicum* (Apéndice 1).

De manera similar, entre los vegetales del plancton se registró un grupo de algas microscópicas cuya forma de vida aún no es clara, que mostró una baja riqueza de especies (28), entre las que destacaron *Anabaenopsis circularis*-*Gymnodinium cf. pasheri* (Apéndice 1).

Biogeografía: de las 58 familias (100 %) determinadas en el río Tehuantepec sobresalaron cinco de ellas (8.6 %); entre las restantes categorías sistemáticas resaltaron ocho géneros (6.6 %), 72 especies (26.4 %), 45 variedades (60 %) y ocho formas (61.5 %) todos estos taxones considerados como nuevos registros para México (Apéndice 1).

La clasificación de las cinco estaciones de muestreo del río Tehuantepec con los 298 taxones, resaltó dos hábitats; el primero se estructuró con las estaciones 1-4, y el segundo con la estación cinco (Fig. 1). En los dos hábitats, sobresalaron 48 especies (17.6 %) que tuvieron la mayor distribución (Apéndice 1), seis especies (2.2 %) se distribuyeron en las estaciones 1-4, y 65 especies (23.8 %) se presentaron únicamente en una estación de muestreo.

La similitud de algas microscópicas del río Tehuantepec con respecto a 31 estados y localidades de la República mexicana (Apéndice 1, Fig. 2) (Ehrenberg 1838, Moreno-Ruiz 2000, Siqueiros-Beltrones 2002, Moreno-Ruiz 2005) fue de 91.4 % (familias), 93.4 % (géneros), 73.6 % (especies), 10.1 % (variedades) y 1.7 % (formas). Con la mayor riqueza de bacilariofitas (106 especies), seguidas por las clorofitas (63 especies); así como la menor riqueza de dinofitas (seis especies) y criptofitas (tres especies).

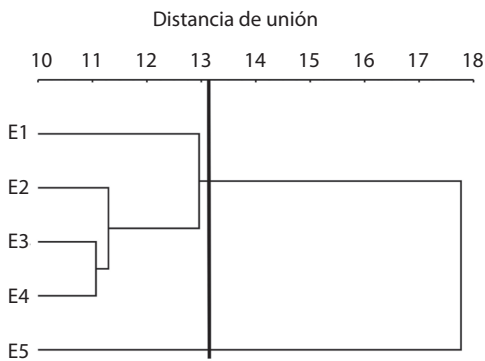


Fig. 1. Dendrograma del análisis de cinco biotopos del río Tehuantepec en cinco períodos y estaciones de muestreo de acuerdo con la composición de 298 taxones de algas microscópicas y valores promedio ponderados de pH, salinidad, suministro metabólico de nitrógeno, relación nitrógeno total:fósforo total, saprobiedad, preferencia trófica, forma de vida, preferencia térmica, florecimientos, frecuencia o distribución y dominancia. La flecha muestra la línea de división arbitraria que definió los dos hábitats.

Fig. 1. Dendrogram for cluster analysis of five biotopes from Tehuantepec River in five periods and sampling sites using taxonomic composition of 298 taxa of microscopic algae and average pondered values of pH, salinity, nitrogen uptake metabolism, Total-N/Total-P ratios, saprobity, trophic preference, life form, thermic preference, blooms, frequency or distribution and dominance. The vertical arrow shows the arbitrary division line for defining two habitats.

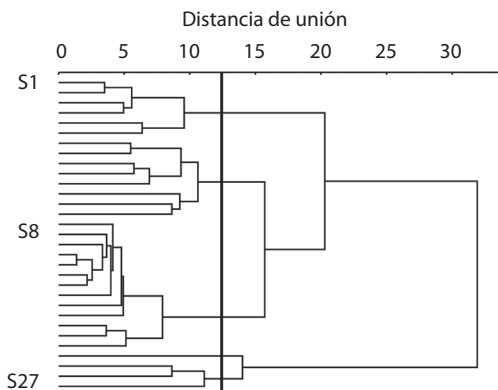


Fig. 2. Dendrograma del análisis de agrupamiento de 31 localidades y estados del país respecto a 298 taxones de algas microscópicas: (S1) Chiapas, (S2) Chiapas-Oaxaca, (S3) Oaxaca, (S4) Guerrero, (S5) Guerrero-Michoacán, (S6) Michoacán, (S7) Colima, (S8) Jalisco, (S9) Nayarit, (S10) Costa occidental (CO) de Baja California Sur, (S11) CO de Baja California Sur-Baja California Norte, (S12) CO de Baja California Norte, (S13) Golfo de California, (S14) Coahuila, (S15) Chihuahua, (S16) Distrito Federal, (S17) Estado de México, (S18) Guanajuato, (S19) Hidalgo, (S20) Morelos, (S21) Nuevo León, (S22) Puebla, (S23) Querétaro, (S24) San Luis Potosí, (S25) Sinaloa, (S26) Sonora, (S27) Tabasco, (S28) Tamaulipas, (S29) Tlaxcala, (S30) Veracruz y (S31) Yucatán. La flecha muestra la línea de división arbitraria que definió los cinco hábitats.

Fig. 2. Dendrogram for cluster analysis of 31 localities and states from Mexico using taxonomic composition of 298 taxa of microscopic algae (see sites above). The vertical arrow shows the arbitrary division line for defining five habitats.

La clasificación de los estados y localidades de la República mexicana por medio de los 298 taxones determinados, destacó cinco hábitats (Fig. 2): el primero se formó con seis localidades de las regiones suroccidental a noroccidental en la vertiente del Pacífico mexicano (Chiapas-Golfo de California), el segundo por siete estados de la región central occidental a oriental (Guerrero-Puebla), el tercero abarcó 13 estados y localidades de las regiones sur-oriental, subcentral, norcentral y noroccidental (Jalisco-Morelos); el cuarto por un estado de la región subcentral suroccidental (Oaxaca), y el quinto a los estados ubicados en las regiones central occidental a nororiental y suroriental (Guerrero-Michoacán a Tabasco). En estos cinco hábitats resaltaron tres especies (1.1 %) con amplia

distribución, 40 especies (14.7 %) exhibieron una moderada distribución y 60 especies (22 %) sólo se registraron en un estado.

La comunidad microalgal de suramérica (Yacubson 1974, Parra *et al.* 1982, González De Infante 1988, Soler 1993, Soler *et al.* 1993, Vyverman 1996, Huszar *et al.* 1998, Díaz-Ramos 2000, Donato-Rondón 2001, Riofrío *et al.* 2003, Lacerda *et al.* 2004) tuvo la similitud con las algas microscópicas del río Tehuantepec (Apéndice 1) de 79.3 % (familias), 56.2 % (géneros), 41 % (especies), 46.7 % (variedades) y 53.8 % (formas). Entre estas algas, las bacilariofitas exhibieron una gran

riqueza de especies (60) y en segundo lugar las clorofitas (30 especies); con la menor riqueza concentrada entre las euglenofitas (dos especies) y criptofitas (una especie).

DISCUSIÓN

Para el río Tehuantepec, se tiene el registro de 298 taxones de algas microscópicas, en virtud de que es el primer estudio que se realiza en esta área, entre ellas, sobresalieron las especies fitopláncticas (57.5 %) sobre las perifíticas (9.5 %) y béticas (22.7 %). Sin embargo, resaltó un menor número de especies cuya forma de vida fue incierta (10.3 %) y que pudo ser el resultado de los métodos de muestreo que fueron específicos para recolectar algas del plancton. Por lo que se requieren incorporar otras técnicas para tener una ubicación más precisa de todos los componentes microalgales y por ende de las comunidades y subcomunidades referidas por Round (1981).

Con base en la composición microalgal, fue posible caracterizar a un tramo del río, como un hábitat acuático limnético (estaciones 1-4); a otro (estación cinco) con fluctuación limnética (agua dulce con salinidad <0.5 %) a oligohalina, con los taxones característicos *Actinastrum hantzschii* var. *hantzschii* que es limnobionte débilmente eurihalino (habita en agua dulce, pero tolera condiciones oligohalinas 0.5-3 %), *Cylindrotheca closterium* y *Entomoneis alata* que tipifican condiciones salobres eurihalinas (se desarrollan entre 2-20 %, Caljon 1983). Asimismo, se distinguieron oscilaciones marinas eurihalinas en particular, por la presencia de las especies de los géneros *Asterionellopsis*, *Bacteriastrum*, *Chaetoceros*, *Proboscia*, *Pseudo-nitzschia*, *Rhizosolenia* y *Thalassionema*.

En la zona costera, las lagunas costeras adyacentes y en la zona marina, se han realizado algunos trabajos fitopláncticos de índole taxonómico y ecológico en los que se trajeron especies particularmente marinas (Tapia-García *et al.* 1998). Sin embargo, al comparar y confirmar la presencia de varias especies pláncticas,

en la estación cinco aledaña al mar, se registraron células solitarias de *Chaetoceros subtilis* var. *subtilis* f. *knipowitzschii* y de *C. seiracanthus*. Este encuentro fue interesante, ya que solo en condiciones ambientales particulares o en cultivo diversas especies de *Chaetoceros* tienden a formar unicélulas (Rines y Hargraves 1988) y en estas dos especies, hasta donde los autores tienen conocimiento, no se habían observado, por lo que es probable que estas variaciones morfológicas pudieron resultar de las oscilaciones de la salinidad.

En la clorofita *Spermatozopsis*, Caljon (1983) separó a *Spermatozopsis* sp. 1 de *S. exultans* porque presentó dos flagelos (undulipodios). Aunque probablemente fue una separación parcial, ya que la especie nominal se caracteriza por tener generalmente cuatro y en ocasiones dos undulipodios. En el río Tehuantepec se observó la misma situación, pero a la vez, destacaron ejemplares sin undulipodios en la estación cinco (hábitat de alta tensión, por la mezcla del agua dulce y marina que se efectúa aquí), lo que evitó su asignación en taxones separados, ya que entre otros parámetros, las fluctuaciones de la salinidad pudieron ser las responsables de esa variación morfológica (Moreno-Ruiz 2005), pero se requiere cultivar a esta especie para tener una delimitación sistemática más clara e incrementar el conocimiento de su composición ecológica.

De manera similar sobresalieron las euglenofitas y criptofitas entre las estaciones de muestreo 1-4, como probable respuesta a considerables cantidades de materia orgánica, derivadas de las actividades urbanas, debido a que el río atraviesa los poblados de Santa María Mixtequilla, Santo Domingo, Tehuantepec y San Blas Atempa, donde se le utiliza para descargas de aguas negras, tiradero de basura y otros desechos domésticos (Tapia-García *et al.* 1998).

Destacaron las especies de amplia distribución *Chroococcus turgidus*, *M. flos-aquae* y *P. limnetica*, así como *Chroococcus dispersus*, *Marssonella elegans* y *Rhabdoderma lineare*, que por su permanencia y abundancia, repercutieron en la dinámica ecológica

que se desarrolla en el río, ya que al tratarse de especies con células pequeñas altamente competitivas, pudieron excluir a las especies con células más grandes (Oviat *et al.* 1989) en ambientes con cierta estratificación (Nielsen y Kiørboe 1991) entre las estaciones 1-4. En contraste, la estación cinco mostró eventos de turbulencia, que se detectan por el descenso de la abundancia de las cianoprocarionas anteriormente referidas, y del desarrollo de las especies grandes: *Chaetoceros* spp., *Cerataulina pelagica*, *Guinardia striata*, *Proboscia alata* f. *alata*, *Rhizosolenia* spp., *Bacillaria paxillifer* y de otras especies fitopláneticas y fitobentónicas (Moreno-Ruiz 2005), por lo que fue más evidente el proceso de mezcla asociado a los movimientos de marea y a los “tehuantepecanos”, que generaron un hábitat de características estuarinas.

Las especies de *Chaetoceros* y *Thalassionema* al caracterizar surgencias (Sancetta 1983, Marshall y Cohn 1987), evidenciaron este proceso en la estación cinco, aunado al incremento de la salinidad, enriquecimiento de nutrientes e incremento de la productividad, que posiblemente resultaron de la surgencia costera postulada para la parte norte del Golfo de Tehuantepec (Rodén 1961, Stumpf 1975).

Con base en la similitud y clasificación por conglomerados (Fig. 1), el hábitat estructurado por las estaciones 1-4 resaltó por la exclusiva distribución de los seis taxones: *M. elegans*, *Cephalomonas granulata*, *Gomphonema affine*, *R. lineare*, *Cryptomonas ovata* var. *ovata*, *Cryptomonas ovata* var. *curvata* y *Sellaphora pupula* var. *capitata*, especies limnobiontes a limnobiontes eurihalinas de primer grado, más una baja riqueza de especies. De manera opuesta, el hábitat constituido por la estación cinco se diferenció por 65 especies únicas: entre las que sobresalió el componente limnético *Arthrosira spirulinoides-Pinnularia cardinalis*, así como el componente marino *Amphora terroris-Thalassionema frauenfeldii* en el área de mayor riqueza de especies. Sin embargo, entre ambos hábitats aunados a las características ambientales resumidas en el valor de importancia ponderado, exhibieron la moderada calidad del agua

resultante de las actividades urbanas, ganaderas e industriales que aquí se desarrollan (Tapia-García *et al.* 1998).

La clasificación de los estados del país (Fig. 2), mostró la mayor distribución de los tres taxones limnobiontes eurihalinos: *A. granulata* var. *granulata* f. *granulata*, *C. meneghiniana* y *Synedra ulna* var. *ulna*. De los cinco hábitats, el primero se definió por una moderada riqueza de taxones (28-77) y compartió 28 especies entre las que sobresalieron *Nitzschia sigma-Rhizosolenia clevei* var. *comunis* que oscilaron entre una composición salobre eurihalina superior a marina eurihalina. El segundo hábitat exhibió de manera similar una moderada riqueza de taxones (26-74), pero destacaron por su distribución las tres especies limnobiontes eurihalinas de primer grado: *Chlorella vulgaris*, *Tetraedron minimum* y *Caloneis amphisbaena*. El tercer hábitat mostró la menor riqueza de especies (1-24) y en él resaltó por su distribución la especie limnobionte eurihalina de primer grado *Gomphonema gracile* var. *gracile*. El cuarto hábitat tuvo la mayor riqueza de especies (298) y en él sobresalieron los 58 taxones limnobiontes y limnobiontes eurihalinos: *Anacystis nidulans-Peridiniopsis cuningtonii*. El quinto hábitat exhibió una alta riqueza de taxones (103-140), en el que resaltaron por su distribución 16 especies cuya composición ecológica fluctuó de limnobionte a limnobionte eurihalina entre *Anabaena* cf. *cylindrica* a *P. limnetica* (Apéndice 1).

Banderas-Tarabay (1997) refirió la similitud de especies entre su estudio y la República mexicana del 40.4 % al considerar únicamente la distribución referida por Ortega (1984). Opuestamente en este trabajo al consultar a más autores (Moreno-Ruiz 2005) y por análisis propios, se obtuvo el incremento del 83.9 % de especies compartidas. Sin embargo, de los cinco hábitats, el tercero está prácticamente inexplorado y se requieren realizar más investigaciones de la composición abundancia y distribución de las algas microscópicas en el país para establecer una mayor relación florística.

En el ámbito tropical, la comparación de la flora microalgal suramericana con la mexicana,

exhibió a la especie limnobionte eurihalina *A. granulata* var. *granulata* f. *granulata* con una distribución ligeramente alta. Otras ocho especies limnobiontes eurihalinas: *Ankistrodesmus falcatus* var. *falcatus*-*Synedra ulna* var. *ulna*, más la especie holeurihalina *B. paxillifer* tuvieron una distribución moderada. 33 especies entre limnobiontes como *Pediastrum simplex* var. *simplex* a la salobre eurihalina superior *E. alata* mostraron una distribución baja, y 76 especies con representantes limnobiontes como *Achnanthes exigua* var. *heterovalvata* y la especie marina eurihalina *Thalassionema nitzschiooides* var. *nitzschiooides* exhibieron una distribución muy baja (Apéndice 1).

Al considerar la hipótesis de un origen común y amplia dispersión de la flora algal desde Suramérica a Norteamérica, Banderas-Tarabay (1997) registró la similitud de especies del 14 %. Sin embargo, aunque en el presente estudio se obtuvo el 41 %, esta distribución mostró aún la existencia de localidades pobremente estudiadas en Suramérica y México, por lo que la implementación de más estudios, tendrá probablemente como resultado el incremento del número de especies compartidas y en consecuencia una mayor correspondencia microalgal.

AGRADECIMIENTOS

El presente estudio forma parte de las investigaciones de posgrado del primer y cuarto autores, por lo que se expresa especial agradecimiento a la Universidad Autónoma Metropolitana, CONACyT, Instituto Mexicano del Petróleo, DGAPA, Universidad Nacional Autónoma de México (UNAM) y a la SEP (FOMES) por los apoyos proporcionados. A Margarita Reyes y Jorge Sepulveda del Instituto de Geología e Instituto de Fisiología Celular, UNAM, respectivamente por su ayuda con microscopía electrónica. A Susan Carty de Texas A & M por sus valiosos comentarios que enriquecieron el análisis de la composición, en particular de las dinoflageladas, y a Herman van Dam de Aqua Sence TEC,

Amsterdam, por sus comentarios sobre la composición ecológica.

RESUMEN

El fitoplancton recolectado en el río Tehuantepec con características limnéticas a eurihalinas se determinó, clasificó y comparó con información regional de México y Suramérica. Se incluyen valores indicadores y un código del listado florístico para facilitar el manejo de estas algas. Se determinó un total de 58 familias, 121 géneros, 273 especies, una subespecie, 75 variedades, 13 formas y un morfotipo, pertenecientes a las divisiones Bacillariophyta (42.0 %), Chlorophyta (29.0 %), Cyanoproctaryota (18.0 %), Euglenophyta (5.0 %), Dinophyta (3.0 %), Cryptophyta (2.0 %) y Chrysophyta (1.0 %). Las familias mejor representadas fueron Scenedesmaceae (24 especies), Oocystaceae (22), Bacillariophyceae (21), Chaetocerotaceae (15) y Euglenaceae (14). Se establecen nuevos registros para México: cinco familias, ocho géneros, 72 especies, 45 variedades y ocho formas. En este río, que presenta una moderada calidad del agua, sobresalieron las especies *Chrococcus turgidus*, *Microcystis flos-aquae* y *Pseudanabaena limnetica* (como productoras de mareas rojas).

Palabras clave: fitoplancton, neotropical, limnético, eurihalino, valores indicadores, florecimientos masivos, calidad del agua.

REFERENCIAS

- Anónimo. 1981. Carta topográfica Juchitán número 15-10, D15-1. Instituto Nacional de Estadística Geografía e Informática (INEGI), Esc. 1:250 000, México D.F., México.
- Anónimo. 2000. Estudio ambiental integral de la región de Salina Cruz, Oaxaca, México, Río Tehuantepec, Marzo 2000. Instituto Mexicano del Petróleo (IMP), México D.F., México.
- Banderas-Tarabay, A. 1997. Phycoflora of the tropical high-mountain lake El Sol, Central Mexico, and some biogeographical relationships. Hydrobiologia 354: 17-40.
- Caljon, A. 1983. Brackish-water phytoplankton of the Flemish lowland. Dev. Hidrobiol. 18: 1-272.
- Contreras-Espinosa, F., O. Castañeda-López & A. García-Nagaya. 1994. La clorofila *a* como base para un índice trófico en lagunas costeras mexicanas. An. Inst. Cienc. Mar Limnol. Univ. Nal. Autón. México 21: 55-66.

- Díaz-Ramos, J.R. 2000. Índice de la microflora marina de Venezuela: diatomeas, dinoflagelados y cocolitofóridos. Rev. Biol. Trop. 48: 897-918.
- Donato-Rondón, J.C. 2001. Fitoplancton de los Lagos Andinos del Norte de Sudamérica (Colombia): Composición y Factores de Distribución. Acad. Col. Cien. Exactas Fís. Nat., Bogotá, Colombia.
- Ehrenberg, C.G. 1838. Die Infusionsthierchen als vollkommene Organisme. Ein Blick in das tiefere organische Leben der Natur. Leopold, Leipzig, Alemania.
- García, E. 1981. Modificaciones al sistema de clasificación climática de Copen (para adaptarlo a las condiciones de la República Mexicana). Larios, México D.F., México.
- González De Infante, A. 1988. El Plancton de las Aguas Continentales. OEA, Washington DCN, EEUU.
- Huszar, V.L.M., L.H.S. Silva, P. Domingos, M. Marinho & S. Melo. 1998. Phytoplankton species composition is more sensitive than OECD criteria to the trophic status of three Brazilian tropical lakes. Hidrobiología 369/370: 59-71.
- Lacerda, S.R., M.L. Koenig, O.S. Neuman-Leitā & M.J. Flores-Montes. 2004. Phytoplankton nyctemeral variation at a tropical river estuary (Itamaracá-Pernambuco-Brazil). Braz. J. Biol. 64: 81-94.
- Lepistö, L. & U. Rosenström. 1998. The most typical phytoplankton taxa in four types of boreal lakes. Hydrobiologia 369/370: 89-97.
- Marshall, H.G. & M. Cohn. 1987. Phytoplankton composition of the New York Bight and adjacent waters. J. Plank. Res. 9: 267-276.
- Monreal-Gómez, M.A. & D.A. Salas De León. 1998. Dinámica y estructura termohalina, p. 13-26. In M. Tapia (ed.). El Golfo de Tehuantepec: el ecosistema y sus recursos. Univ. Autón. Metropol., Itzapa, México.
- Moreno, J.L. 2003. Fitoplancton, p. 13-45. In G. De La Lanza-Espino & S. Hernández-Pulido (eds.). Manual para la recolecta, el manejo y las observaciones de campo para bioindicadores de calidad del agua. CNA/AGT, México D.F., México.
- Moreno, J.L., S. Licea & H. Santoyo. 1996. Diatomeas del Golfo de California. Universidad Autónoma de Baja California Sur, SEP-FOMES/PROMARCO, Baja California Sur, México.
- Moreno-Ruiz, J.L. 2000. Fitoplancton, p. 43-108. In G. De La Lanza Espino, S. Hernández-Pulido & J.L. Carbajal-Pérez (eds.). Organismos indicadores de la calidad del agua y de la contaminación. SEMARNAP, CNA, UNAM, Inst. Biol. UNAM, Plaza & Valdez, México D.F., México.
- Moreno-Ruiz, J.L. 2005. Fitoplancton, p. 33-64. In J.S. Bueno-Soria & F. Álvarez-Noguera (eds.). Biodiversidad de Tabasco. Instituto de biología, UNAM/CONABIO, México D.F., México.
- Moreno-Ruiz, J.L. & A.L. Carreño. 1994. Diatom biostratigraphy of Bahía Asunción, Baja California Sur, México. Rev. Mex. Cien. Geol. 11: 243-252.
- Nielsen, J.G. & T. Kiørboe. 1991. Effects of a storm event on the structure of the pelagic food web with special emphasis on planktonic ciliates. J. Plankton Res. 13: 35-51.
- Ortega, M.M. 1984. Catálogo de Algas Continentales Recientes de México. UNAM, México DF, México.
- Ortega, M.M., J.L. Godínez, G. Garduño-Solorzano & M.G. Oliva. 1995. Ficología de México: Algas Continentales. AGT, México D.F., México.
- Oviat, C., P. Lane, I.F. French & P. Donaghay. 1989. Phytoplankton species and abundance in response to eutrophication in coastal marine mesocosms. J. Plankton Res. 11: 1223-1244.
- Parra, O.O., M. González, V. Dellarossa, P. Rivera & M. Orellana. 1982. Manual Taxonómico del Fitoplancton de Aguas Continentales, con Especial Referencia al Fitoplancton de Chile. I- Cyanophyceae. Universidad de Concepción, Concepción, Chile.
- Rines, J.E.B. & P.E. Hargraves. 1988. The *Chaetoceros* Ehrenberg (Bacillariophyceae) flora of Narragansett Bay, Rhode Island, USA. Bibl. Phycol. 79: 1-196.
- Riofrío, J., I. Samanez, F. Carrasco & M. Clavo. 2003. Limnological characteristics of the Amazonic Cashibococha Lake (Ucayali-Peru) at 2001. Rev. Peru Biol. 10: 183-194.
- Roden, G.I. 1961. Sobre la circulación producida por el viento en el Golfo de Tehuantepec y sus efectos sobre las temperaturas superficiales. Geofis. Inter. 3: 55-72.
- Round, F.E. 1981. The ecology of algae. Cambridge, Cambridge, Inglaterra.
- Rzedowsky, J. 1978. La Vegetación de México. Limusa, México D.F., México.

- Sancetta, C.A. 1983. Diatoms in sediments as indicators of the shelf-slope break. Soc. Econ. Pal. Min. Spec. Pub. 33: 373-380.
- Siqueiros-Beltrones, D.A. 2002. Diatomeas bentónicas de la Península de Baja California; diversidad y potencial ecológico. CICIMAR, Libros de Ciencias Marinas, IPN-UABCs, La Paz, México.
- Soler, A. 1993. Contribuciones al conocimiento de las diatomeas (Bacillariophyceae) de Panamá. II. Epifitismo en *Hydrilla verticillata*. Rev. Universidad 48: 106-168.
- Soler, A., M.Y. Castillo & E.V. Robles. 1993. Contribuciones al conocimiento de las diatomeas (Bacillariophyceae) de Panamá. I. Diatomeas del Lago Gatún. Rev. Universidad 47: 161-227.
- Stumpf, H.G. 1975. Satelite detection of upwelling in the Gulf of Tehuantepec, Mexico. J. Phys. Oceanogr. 5: 383-388.
- Tapia-García, M., E. Ramos-Santiago & A. Ayala-Cortés. 1998. La actividad humana y su impacto en la zona costera con énfasis en el Istmo de Tehuantepec, p. 209-228. In M. Tapia (ed.). El Golfo de Tehuantepec: el ecosistema y sus recursos. Univ. Autón. Metropol., México D.F., México.
- Van Dam, H., A. Mertens & J. Sinkeldam. 1994. A coded checklist and ecological indicator values of freshwater diatoms from the Netherlands. Neth. J. Aquatic Ecol. 28: 117-133.
- Vyverman, W. 1996. The Indo-Malaysian North-Australian phycogeographical region revised. Hydrobiologia 336: 107-120.
- Ward, J. 1963. Hierarchical grouping to optimise an objective function. J. Amer. Statist. Ass. 58: 236-244.
- Yacubson, S. 1974. Catálogo e iconografía de las Chlorophyta de Venezuela. Bol. Centro Invest. Biol. Univ. Zulia, Fac. Hum. Educ. Maracaibo, Venezuela.

APÉNDICE 1

Composición y valores indicadores de las algas microscópicas del río Tehuantepec, Oaxaca (ver cuadro 1 para explicación)

No.	Taxa	pH	H	N	Nt:Pt	IS	Tp	Lf	T	B	F	D	VIP	M	SA	NR
División: Cyanoprokaryota																
Familia Synechococcaceae Komárek et Anagnosidis																
A15	<i>Aphanothece ellipsoidea</i> (Schröder) Bourrelly	4	1	2	3		1	3	5	1	2	1	2.300			c
A8	<i>Aphanothece nidulans</i> Richter	4	3	3		1	3	5	2	1	1	1	2.556	X		c
A9	<i>Anacyclis radiata</i> Gardner	4	2	3		1	3	5	3	2	1	1	2.667	X		
A60	<i>Synechococcus cedrorum</i> Sauvageau	4	2	2		1	5	1	1	1	1	1	2.125	X		
A61	<i>Synechococcus elongatus</i> Nügeli	4	1	2	3		1	5	1	2	1	1	2.222	X	X	
A62	<i>Synechococcus lineare</i> (Schmidle et Lauterborn) Komarek	4	2	2	3	2	1	3	5	2	3	1	2.545	X		
A63	<i>Synechococcus major</i> f. <i>crassior</i> Lagerheim	4		3		1	5	1	1	1	1	1	2.286		ce	
A64	<i>Synechococcus nidulans</i> (Pringsheim) Komarek	4	1	3		1	5	1	1	1	1	1	2.125	X		
A65	<i>Synechococcus vanieghemii</i> Pringsheim	4	1	2		1	5	2	1	1	1	1	2.125		c	
Familia Merismopediaceae Elenkin																
A12	<i>Aphanocapsa delicatissima</i> West et Wést	1	1	2	3	3	1	3	5	4	3	1	2.455	X	X	
A13	<i>Aphanocapsa elachista</i> West et West var. <i>elachista</i>	4	2	2	3		1	3	5	3	3	1	2.700	X	X	
A14	<i>Aphanocapsa elachista</i> var. <i>conferta</i> West et West	1	3	2	3		1	3	5	3	2	1	2.400	X		d
A36	<i>Merismopedia convoluta</i> Bribrisson in Kützing	4	1	2	3		1	3	5	2	1	1	2.300	X	X	
A37	<i>Merismopedia glauca</i> (Ehrenberg) Nägeli	4	3	2	3	3	1	3	5	2	3	1	2.727	X	X	
A38	<i>Merismopedia punctata</i> Meyen	4	2	3	3	1	3	5	2	2	1	1	2.600	X	X	
A39	<i>Merismopedia tenuissima</i> Lemmermann	4	2	3	3	1	3	5	3	3	1	1	2.800	X	X	

No.=clave del taxón, VIP=valor indicador ponderado, M=Méjico, SA=Suramérica, X=presencia, NR=nuevo registro, a=familia, b=género, c=especie, d=variedad, e=forma, VICA=valor indicador de la calidad del agua. Taxonomic composition and ecological indicator values of micro-algae from Tehuantepec River, Oaxaca (see Cuadro 1 for explanation). No.=key of taxon, VIP=pondered indicator value, M=Méjico, SA=South America, X=presence, NR=new register, a=family, b=genus, c=species, d=variety, e=form, VICA=indicator value of water quality.

APÉNDICE 1 (Continuación)

Composición y valores indicadores de las algas microscópicas del río Tehuantepec, Oaxaca

A68	<i>Synechocystis aquatilis</i> Sauvageau	4	2	2	3	1	3	5	2	3	1	2.600	X	
A69	<i>Synechocystis diplococcus</i> (Pringsheim) Bourrely	4	1	3	1	5	1	1	1	1	1	2.125	X	
A70	<i>Synechocystis pevalkii</i> Eregovic	4	2	2	3	1	5	1	3	1	1	2.444	X	
A35	<i>Marsoniella elegans</i> Lemmermann	4	1	2	3	1	3	5	1	2	1	2.300	X	
A55	<i>Rhabdodera linearis</i> Schmidle et Lauterborn in Schmidle	1	2	3	3	1	3	5	1	2	1	2.200	X	
A26	<i>Dactylococcopsis fascicularis</i> Lemmermann	4	1	2	3	1	5	1	1	1	1	2.111	X	
A28	<i>Dactylococcopsis smithii</i> Chodat et Chodat	4	1	3	2	1	3	5	1	1	1	2.200	X	
A31	<i>Gomphosphaeria aponina</i> Kützing	4	3	2	3	2	1	3	5	2	1	2.455	X	
A32	<i>Gomphosphaeria lacustris</i> Chodat	4	2	3	2	1	3	5	3	2	1	2.600	X	
	Familia Microcystaceae Elenkin													
A40	<i>Microcystis aeruginosa</i> Kützing ex Elenkin	4	2	3	3	1	3	5	2	1	1	2.500	X	
A41	<i>Microcystis flos-aquae</i> (Wittrock) Kirchner	4	3	2	3	3	1	3	5	4	4	2	3.091	X
A42	<i>Microcystis viridis</i> (A.Braun) Lemmermann	4	2	2	3	3	1	3	5	2	2	1	2.545	X
	Familia Chroococaceae Nägeli													
A17	<i>Chroococcus dispersus</i> (Keissler) Lemmermann var. <i>dispersus</i>	4	4	2	3	3	1	3	5	3	3	1	2.909	X
A18	<i>Chroococcus giganteus</i> W. West	4	1	2	3	2	3	5	1	2	1	2.400	X	
A19	<i>Chroococcus limneticus</i> Lemmermann	4	2	2	3	3	1	3	5	3	2	1	2.636	X
A20	<i>Chroococcus minor</i> (Kützing) Nägeli	4	2	2	3	1	5	2	1	1	1	2.333	X	
A21	<i>Chroococcus minutus</i> (Kützing) Nägeli	4	3	2	3	3	1	3	5	3	5	2	3.091	X
A22	<i>Chroococcus pallidus</i> Nägeli	1	3	3	2	1	1	5	1	1	1	1.889	X	
A23	<i>Chroococcus turgidus</i> (Kützing) Nägeli	4	3	2	3	2	1	1	5	4	5	2	2.909	X
	Familia Pleurocapsaceae Götter												a	
A43	<i>Mixosarcina burmensis</i> Skuja	4	3	2	3	1	5	1	1	1	1	2.333	X	
													c	

APÉNDICE 1 (Continuación)

Composición y valores indicadores de las algas microscópicas del río Tehuantepec, Oaxaca

A47	Familia Pseudanabaenaceae <i>Anagnostidium et Komárek</i>	4	2	2	3	2	1	3	5	4	5	2	3,000	X	X
A45	<i>Geitlerinella amphibium</i> (Agardh ex Gomont) Anagnostidius	4	1	2	3	4		5	1	1	1	1	2,444	X	
A53	<i>Lepolyngya tenuis</i> (Gomont) Anagnostidius et Komárek	4	3	2	3	3	1	2	5	4	4	2	3,000	X	X
A56	<i>Spirulina abbreviata</i> Lemmermann	4	3	2	3	1		5	1	2	1	1	2,444	X	c
A34	<i>Lyngbya cf. taylorii</i> Drouet et Strickland	4	3	3	1		5	1	1	1	1	1	2,375	X	
	Familia Oscillatoriaceae (S.F. Gray) Harvey ex Kirchner														
A46	<i>Trichodesmium lacustre</i> Klebahn	4	3	2	3	1	3	5	2	2	2	1	2,600	X	
A48	<i>Oscillatoria princeps</i> Vaucher	4	1	3	4	2	3	5	2	2	1	1	2,700	X	X
A49	<i>Oscillatoria proboscidea</i> Gomont	4	2	3	1	3	5	1	1	1	1	1	2,333	X	X
A50	<i>Oscillatoria cf. rubescens</i> De Candolle	4	4	2	3	1	3	5	3	2	1	1	2,800	X	X
A51	<i>Oscillatoria subrevoluta</i> Schmidle	4	1	3	3	3	5	1	1	1	1	1	2,375	X	c
	Familia Nostocaceae Dumont														
A1	<i>Anabaena cf. cylindrica</i> Lemmermann	4	2	3	1	3	5	1	1	1	1	1	2,333	X	
A2	<i>Anabaena cf. sphaerica</i> Bornet et Flahault	4	2	2	3	1	3	5	2	1	1	1	2,400	X	X
A4	<i>Anabaena cf. variabilis</i> Kützing	4	1	3	1	3	5	1	1	1	1	1	2,222	X	X
A5	<i>Anabaena cf. wisconsinense</i> Prescott	4	3	3	1	3	5	4	2	1	1	1	2,889	X	
A7	<i>Anabaenopsis circularis</i> (G.S. West) Miller ex West	4	3	3	3	3	5	1	1	1	1	1	2,625	X	X
A10	<i>Aphanizomenon flos-aquae</i> (Linnaeus) Ralfs	4	2	2	3	3	1	3	5	4	2	2	2,818	X	X
A16	<i>Arthrosphaera spirulinoides</i> Ghose	4	7	3	1		5	1	1	1	1	1	2,875	X	c
	División: Euglenophyta														
	Familia Euglenaceae Stein em. Klebs														
A334	<i>Euglena acus</i> var. <i>rigida</i> Huebner	4		3	1	1	5	1	1	1	1	1	2,125	X	d
A341	<i>Euglena cf. proxima</i> Dangeard	4	2	2	3	4	1	3	5	1	1	1	2,455	X	

APÉNDICE 1 (Continuación)

Composición y valores indicadores de las algas microscópicas del río Tehuantepec, Oaxaca

A343	<i>Euglena</i> cf. <i>sanguinea</i> Ehrenberg	4	3	3	1	1	5	1	1	1	2.222	X
A350	<i>Lepocinclus glabra</i> Drezpolski	4	1	2	2	1	3	5	1	1	2.100	c
A352	<i>Lepocinclus</i> cf. <i>playfairiana</i> Deflandre	4	2	3	3	1	3	5	1	1	2.400	c
A359	<i>Phacus curvicauda</i> Swirensko	4	1	2	3	3	1	1	5	1	1	2.091
A365	<i>Trachelomonas</i> cf. <i>granulosa</i> Playfair	4	1	3	3	1	3	5	1	1	2.300	X
A366	<i>Trachelomonas hexangulata</i> var. <i>repanda</i> Prescott	4	1	2	3	1	3	5	1	1	2.200	cd
A367	<i>Trachelomonas</i> cf. <i>lispida</i> (Perty) Stein	4	1	2	3	1	3	5	1	1	2.200	X
A368	<i>Trachelomonas lacustris</i> Drezpolski	4	3	2	1	3	5	1	1	1	2.333	X
A369	<i>Trachelomonas obovata</i> (Stokes) Deflandre	4	1	3	3	1	3	5	1	1	2.300	c
A370	<i>Trachelomonas</i> cf. <i>pulcherrima</i> Playfair	4	1	3	3	1	3	5	1	1	2.444	c
A372	<i>Trachelomonas volhocina</i> Ehrenberg var. <i>vohocina</i>	4	1	2	3	1	3	5	1	1	2.273	X
A371	<i>Trachelomonas volhocina</i> var. <i>punctata</i> Playfair	4	1	3	1	3	5	1	2	1	2.333	d
	División: Dinophyta											
	Familia Gymnodiniaceae Lankester											
A491	<i>Amphidinium turbo</i> Schiller	4	9	3	1	5	1	1	1	1	3.125	X
A503	<i>Gymnodinium sanguineum</i> Hirasaka	4	9	2	3	5	1	1	1	1	3.250	X
A504	<i>Gymnodinium</i> cf. <i>paschieri</i> (Suchlandt) Schiller	4	4	3	1	5	1	1	1	1	2.500	c
	Familia Peridiniaceae Ehrenberg											
A512	<i>Peridinium aciculiforme</i> Lemmermann	4	2	2	1	3	5	1	1	1	2.222	X
A514	<i>Peridinium cinctum</i> Ehrenberg f. <i>cinctum</i>	4	3	1	3	5	1	1	1	1	2.375	X
A513	<i>Peridinium pusillum</i> (Penard) Lemmermann	4	3	1	3	5	1	1	1	1	2.375	c
A516	<i>Peridiniopsis cunningtonii</i> Lemmermann	4	4	3	3	5	1	1	1	1	2.778	c
A517	<i>Peridiniopsis polonicum</i> (Wołoszynska) Bourrelly	4	1	2	1	1	5	1	1	1	1.889	X

APÉNDICE 1 (Continuación)

Composición y valores indicadores de las algas microscópicas del río Tehuantepec, Oaxaca

A493	Familia Glenodiniopsidaceae Schiller <i>Glenodinium kuleczynskii</i> (Woloszynska) Schiller	4	2	3	1	1	5	1	1	2.111	X
	División: Chrysophyta									a	bc
	Familia Chromulinae Engler in Engler et Prantl										
A75	Familia Monochrysis Intheri Dop <i>Monochrysis lutheri</i> Dop	4	3	2	3	1	3	5	2	1	2.600
	Familia Ochromonadaceae Lemmermann									c	
A77	Familia Ochromonas variabilis Meyer <i>Ochromonas variabilis</i> Meyer	4	1	2	2	1	5	1	1	2.000	
	Familia Rhizochloridaceae Pascher em. Ettl									a	
A79	Familia Sphaerotilaceae Prescott in Prescott et Crosdale <i>Sphaerotilus capense</i> Prescott in Prescott et Crosdale	4	6	2	1	5	1	1	1	2.625	
	Incertae sedis									bc	
A73	Familia Merinosphegidae Prescott in Prescott <i>et al.</i> <i>Merinosphegiera spinosa</i> Prescott in Prescott <i>et al.</i>	4	3	3	1	5	1	2	1	2.500	
	División: Cryptophyta									bc	
	Familia Cryptomonadaceae Ehrenberg									a	
A83	Familia Cryptomonas ovata Ehrenberg var. <i>ovata</i> <i>Cryptomonas ovata</i> Ehrenberg var. <i>ovata</i>	4	3	2	3	1	3	5	1	3	2.636
A84	Familia Cryptomonas ovata var. <i>curvata</i> Lemmermann <i>Cryptomonas ovata</i> var. <i>curvata</i> Lemmermann	4	3	2	3	1	3	5	1	2	2.500
A85	Familia Cryptomonas reflexa Skuja <i>Cryptomonas reflexa</i> Skuja	4	3	2	3	1	3	5	1	1	2.400
A88	Familia Cyanomonas americana (Davis) Olmanns <i>Cyanomonas americana</i> (Davis) Olmanns	4	1	2	2	1	3	5	1	2	2.200
A91	Familia Detonula pumila (Castracane) Schütt in litt. (de acuerdo a F. W. Mills) <i>Detonula pumila</i> (Castracane) Schütt in litt.	4	1	2	1	3	5	1	2	2.222	
	División: Bacillariophyta									c	
	Familia Skeletonematae Lebour, sensu em. Round <i>et al.</i>										
A299	Familia Skeletonema costatum (Greville) Cleve <i>Skeletonema costatum</i> (Greville) Cleve	4	9	2	1	3	5	1	1	1	3.000
A301	Familia Skeletonema pseudocostatum Medlin in Medlin <i>et al.</i> <i>Skeletonema pseudocostatum</i> Medlin in Medlin <i>et al.</i>	4	5	2	1	3	5	1	1	1	2.556
A302	Familia Skeletonema subsalsum (A. Cleve) Bethge <i>Skeletonema subsalsum</i> (A. Cleve) Bethge	4	8	3	1	3	5	2	2	1	3.222
A177	Familia Detonula pumila (Castracane) Schütt in litt. (de acuerdo a F. W. Mills)	4	9	2	1	3	5	1	1	1	3.000

APÉNDICE 1 (Continuación)

Composición y valores indicadores de las algas microscópicas del río Tehuantepec, Oaxaca

A161	<i>Cyclotella meneghiniana</i> Kützing	Familia Stephanodiscaceae Glezer et Makarova	4	2	2	3	4	1	3	5	3	1	2	2.727	X	X
A162	<i>Cyclotella stelligera</i> Cleve et Granow	Familia Melosiraceae Kützing sensu em. Round <i>et al.</i>	4	2	2	3	3	1	3	5	4	4	2	3.000	X	X
A216	<i>Melosira moniliformis</i> (O. F Müller) Agardh	Familia Aulacoseiraceae Crawford in Round <i>et al.</i>	4	7	3	1	1	5	1	1	1	1	1	2.667	X	X
A127	<i>Aulacoseira granulata</i> (Ehrenberg) Simonsen var. <i>granulata</i> f. <i>granulata</i>	Familia Aulacoseiraceae Crawford in Round <i>et al.</i>	4	3	2	3	3	1	3	5	4	5	2	3.182	X	X
A125	<i>Aulacoseira granulata</i> var. <i>angustissima</i> (O. Müller) Simonsen f. <i>angustissima</i>	Familia Aulacoseiraceae Crawford in Round <i>et al.</i>	4	3	2	3	3	1	3	5	2	4	1	2.818	X	X
A126	<i>Aulacoseira granulata</i> var. <i>angustissima</i> f. <i>curvata</i> (Grunow) Simonsen	Familia Biddulphiaceae Kützing	4	3	2	3	1	3	5	2	1	1	1	2.500	X	X
A131	<i>Bidulphia alternans</i> (Bailey) Van Heurck	Familia Hemiaulaceae Heiberg	4	9	2	1	1	5	1	1	1	1	1	2.778	X	X
A208	<i>Hemiaulus hauckii</i> Grunow in Van Heurck	Familia Ceratauliinae Hendey	4	9	2	1	3	5	1	1	1	1	1	3.000	X	X
A187	<i>Eucampia cornuta</i> (Cleve) Grunow in Van Heurck	Familia Steptothecaceae Crawford in Round <i>et al.</i>	4	9	2	1	3	5	1	1	1	1	1	3.000	X	X
A139	<i>Cerataulina pelagica</i> (Cleve) Hendey	Familia Helicothecaceae (Shrubsole) Ricard	4	9	2	1	3	5	1	1	1	1	1	3.000	X	X
A304	<i>Helicotheca thamnensis</i> (Shrubsole) Ricard	Familia Rhizosoleniaceae De Toni	4	9	2	1	3	5	1	1	1	1	1	3.000	X	X
A291	<i>Rhizosolenia clevei</i> var. <i>comunis</i> Sundström	Familia Rhizosoleniaceae De Toni	4	9	2	1	3	5	1	1	1	1	1	3.000	X	X
A292	<i>Rhizosolenia pungens</i> Cleve-Euler	Familia Rhizosoleniaceae De Toni	4	9	2	1	3	5	1	1	1	1	1	3.000	X	X
A293	<i>Rhizosolenia setigera</i> Brightwell	Familia Rhizosoleniaceae De Toni	4	9	2	1	3	5	1	1	1	1	1	3.000	X	X
A287	<i>Proboscia alata</i> f. <i>alata</i> (Brightwell) Sundström	Familia Rhizosoleniaceae De Toni	4	9	2	1	5	1	1	1	1	1	1	3.000	X	X
A201	<i>Guinardia striata</i> (Stülerföth) Hasle in Hasle et Syvertsen	Familia Rhizosoleniaceae De Toni	4	9	2	1	5	1	1	1	1	1	1	3.000	X	X

APÉNDICE 1 (Continuación)

Composición y valores indicadores de las algas microscópicas del río Tehuantepec, Oaxaca

APÉNDICE 1 (Continuación)

Composición y valores indicadores de las algas microscópicas del río Tehuantepec, Oaxaca

A308	<i>Synechra goulardii</i> Brébisson ex Cleve et Grunow	4	3	2	3	1	2	5	2	4	1	2.700	X	
A310	<i>Synechra ulna</i> var. <i>aequalis</i> (Kützing) Hustedt	4	3	2	3	1	2	5	2	1	1	2.400	d	
A311	<i>Synechra ulna</i> var. <i>amphirhynchus</i> (Ehrenberg) Grunow	4	2	3		1	2	5	1	1	1	2.222	X	
A312	<i>Synechra ulna</i> (Nitzsch) Ehrenberg var. <i>ulna</i>	4	3	2	3	3	1	2	5	2	4	1	2.727	X
A124	<i>Asterionellopsis glacialis</i> (Castracane) Round in Round <i>et al.</i>	4	9	2		1	3	5	1	1	1	3.000	X	
Familia Liemophoraceae Kützing														
A213	<i>Lemnophora abbreviata</i> Agardh	4	9	2		1	1	5	1	1	1	2.778	X	
Familia Rhipidophoraceae Forti														
A242	<i>Neodelphinea pelagica</i> Takano	4	9	3		1	3	5	1	1	1	3.111	X	
Familia Thalassionemataceae Round in Round <i>et al.</i>														
A315	<i>Thalassionema frauenfelsii</i> (Grunow) Tempère et Peragallo ex Hallegraaff	4	9	2		1	3	5	1	1	1	3.000	X	
A319	<i>Thalassionema nitzchioides</i> (Grunow) Hustedt var. <i>nitzchioides</i>	4	9	2		1	3	5	1	1	1	3.000	X	
Familia Rhoicospheniaceae Chen et Zhu														
A200	<i>Gomphonemopsis pseudoxigua</i> (Simonsen) Medlin	4	9	3		1	2	5	1	1	1	3.000	X	
Familia Cymbellaceae Greville														
A171	<i>Cymbella pusilla</i> Grunow	4	8	2	3		1	2	5	1	1	1	2.800	X
A170	<i>Cymbella amphicaphala</i> Nägeli in Kützing	4	3	2	3		1	2	5	1	1	1	2.300	X
A169	<i>Cymbella minuta</i> Hilse ex Rabenhorst var. <i>minuta</i>	4	3	2	3		1	2	5	1	3	1	2.500	X
A168	<i>Cymbella lanceolata</i> (Agardh) Agardh	4	3	3	2		2	5	1	1	1	1	2.300	X
A173	<i>Cymbella tumidula</i> Grunow	4	1	3		1	2	5	1	1	1	1	2.111	X
A167	<i>Cymbella affinis</i> Kützing	4	3	2	3	2	1	2	5	1	1	1	2.273	X
A172	<i>Cymbella tumida</i> (Brébisson) Van Heurck var. <i>tumida</i>	4	3	3	3	1	2	5	1	1	1	1	2.400	X
Familia Gomphonemataceae Kützing														
A199	<i>Gomphonema parvulum</i> (Kützing) Kützing var. <i>parvulum</i>	4	2	2	3	3	1	2	5	1	2	1	2.364	X

APÉNDICE 1 (Continuación)

Composición y valores indicadores de las algas microscópicas del río Tehuantepec, Oaxaca

A198	<i>Gomphonema parvulum</i> var. <i>lagunula</i> (Kützing) Frenquelli	4	3	2	3	1	2	5	1	4	1	2.600	X	X	d	
A194	<i>Gomphonema gracile</i> var. <i>gracile</i> Ehrenberg	4	3	3	1	2	5	1	2	1	2	2.444	X	X		
A193	<i>Gomphonema affine</i> Kützing	4	3	2	3	1	2	5	1	2	1	2.400	X	X		
A197	<i>Gomphonema olivaceum</i> (Lyngbye) Kützing	4	2	3	3	1	2	5	1	1	1	2.300	X			
	Familia Achanthaceae Kützing sensu em Round <i>et al.</i>															
A99	<i>Achnanthes curvirostrum</i> Brun	4	5	3	1	1	5	1	2	1	2	2.556	X			
A100	<i>Achnanthes exigua</i> var. <i>heterovalvata</i> Kraske	4	1	2	3	1	1	5	1	2	1	2.100	X	X		
A102	<i>Achnanthes lanceolata</i> ssp. <i>dubia</i> (Grunow) Lange-Bertalot	4	1	2	3	1	1	5	1	2	1	2.100	X	X		
A101	<i>Planothidium hauckianum</i> (Grunow in Cleve et Grunow) Round et Bukiyyarova	4	5	3	1	1	5	1	1	1	1	2.444	X	X		
	Familia Cocconeidaceae Kützing															
A157	<i>Cocconeis placentula</i> var. <i>euglypta</i> (Ehrenberg) Cleve	4	2	3	1	2	5	1	2	1	1	2.333	X	X		
	Familia Amphipleuraceae Grunow															
A107	<i>Amphipleura pellicula</i> Kützing	4	2	3	1	1	5	1	1	1	1	2.111	X			
	Familia Sellaphoraceae Mereschkowsky															
A298	<i>Sellaphora pupula</i> var. <i>pupula</i> (Kützing) D.G. Mann	4	3	2	3	3	1	1	5	1	3	1	2.455	X	X	
A296	<i>Sellaphora pupula</i> var. <i>capitata</i> (Skvortzow et Meyer)	4	3	2	3	1	3	5	1	2	1	2.500	X		d	
A297	<i>Sellaphora pupula</i> var. <i>elliptica</i> (Hustedt)	4	1	3	1	1	5	1	1	1	1	2.125			d	
A189	<i>Fallacia pygmaea</i> (Kützing) Stickle et D. G. Mann in Round <i>et al.</i>	4	7	3	4	3	1	5	1	1	1	3.000	X			
	Familia Pinnulariaceae D.G. Mann in Round <i>et al.</i>															
A277	<i>Pinnularia abaiensis</i> var. <i>subundulata</i> (A. Mayer ex Hustedt) Patrick in Patrick et Reimer	3	3	3	1	1	5	1	1	1	1	2.111	X			
A279	<i>Pinnularia cardinalis</i> (Ehrenberg) W. Smith	2	3	3	2	1	1	5	1	1	1	2.000	X			
A280	<i>Pinnularia interrupta</i> W. Smith	2	1	3	2	1	1	5	1	2	1	1.900	X			
A134	<i>Caloneis amphibiaena</i> (Bory) Cleve	4	3	2	3	3	1	2	5	1	2	2.455	X			

APÉNDICE 1 (Continuación)

Composición y valores indicadores de las algas microscópicas del río Tehuantepec, Oaxaca

	Familia Diplotheleaceae D.G. Mann in Round <i>et al.</i>
A179	<i>Diploneis decipiens</i> var. <i>parallela</i> Cleve-Euler
A182	<i>Diploneis smithii</i> (Brébisson ex W. Smith) Cleve
	Familia Naviculaceae Kützing
A217	<i>Navicula abunda</i> Hustedi
A219	<i>Navicula capiata</i> var. <i>hungarica</i> (Grunow) Ross
A220	<i>Navicula capitularia</i> (Grunow) Germain
A221	<i>Navicula cincta</i> (Ehrenberg) Ralfs in Pritchard
A222	<i>Navicula crucicula</i> (W. Smith) Donkin
A229	<i>Navicula cryptocephala</i> Kützing var. <i>cryptocephala</i>
A228	<i>Navicula halophila</i> (Grunow in Van Heurck) Cleve
	Familia Pleurosigmataceae Mereschkowsky
A286	<i>Pleurosigma diverse-striatum</i> Meister
A202	<i>Gyrosigma cf. acuminatum</i> (Kützing) Rabenhorst
A204	<i>Gyrosigma macrum</i> (W. Smith) Cleve
A205	<i>Gyrosigma spencerii</i> (Quekett) Griffith et Henfrey
	Familia Plagiotriplidaceae D.G. Mann in Round <i>et al.</i>
A284	<i>Plagiotropis lepidoptera</i> (Gregory) Reimer var. <i>lepidoptera</i>
A285	<i>Plagiotropis lepidoptera</i> var. <i>minor</i> (Cleve) Reimer
	Familia Catenuilaceae Mereschkowsky
A109	<i>Amphora coffeeiformis</i> (Agaardh) Kützing var. <i>coffeeiformis</i>
A108	<i>Amphora coffeeiformis</i> var. <i>acutiuscula</i> Kützing (Kützing) Rabenhorst
A110	<i>Amphora ostrearia</i> Brébisson ex Kützing var. <i>ostrearia</i>
A112	<i>Amphora ovalis</i> (Kützing) Kützing var. <i>ovalis</i>

APÉNDICE 1 (Continuación)

Composición y valores indicadores de las algas microscópicas del río Tehuantepec, Oaxaca

A111	<i>Amphora ovalis</i> var. <i>affinis</i> (Kützing) Van Heurck ex De Tony	4	2	3	1	1	5	1	1	1	2.111	X	X	d
A114	<i>Amphora terroris</i> Ehrenberg	4	9	3	1	1	5	1	1	1	2.889	X		
Familia Bacillariaceae Ehrenberg														
A128	<i>Bacillaria pauxillifera</i> (O. F. Müller) Hendey	4	10	3	3	1	2	5	1	1	3.100	X	X	
A206	<i>Hantzschia amphioxys</i> (Ehrenberg) Grunow var. <i>amphioxys</i>	4	3	2	3	1	1	5	1	1	2.200	X	X	d
A207	<i>Hantzschia amphioxys</i> var. <i>vivax</i> (Hantzsch) Grunow in Cleve et Grunow	4	8	3	1	1	5	1	1	1	2.778			d
A324	<i>Tryblionella calida</i> (Grunow in Cleve et Grunow) D.G. Mann in Round <i>et al.</i>	4	1	2	3	1	5	1	1	1	2.111			c
A329	<i>Tryblionella punctata</i> Wm. Smith f. <i>punctata</i>	4	7	3	1	1	5	1	1	1	2.667	X	X	
A330	<i>Tryblionella umbilicata</i> (Hustedt) D.G. Mann in Round <i>et al.</i>	4	3	3	1	1	5	1	1	1	2.222			c
A243	<i>Nitzschia acicularis</i> (Kützing) W. Smith	4	1	2	3	1	1	5	1	1	2.000	X		
A244	<i>Nitzschia bicapitata</i> Cleve	4	9	3	1	1	5	1	1	1	2.889	X		
A249	<i>Nitzschia frustulum</i> (Kützing) Grunow in Cleve et Grunow	4	1	2	3	1	1	5	2	3	1	2.300	X	X
A250	<i>Nitzschia gandersheimensis</i> Krasske	4	8	2	3	1	1	5	1	2	1	2.800	X	
A251	<i>Nitzschia gracilis</i> Hantzsch	3	3	3	1	1	5	1	1	1	2.111	X		
A254	<i>Nitzschia obtusa</i> Wm. Smith	4	4	2	3	1	1	5	1	3	1	2.500	X	X
A255	<i>Nitzschia ovalis</i> Arnott in Cleve et Grunow	4	4	2	3	1	1	5	1	2	1	2.400	X	
A258	<i>Nitzschia palea</i> (Kützing) Wm. Smith var. <i>palea</i>	3	2	3	4	1	2	5	2	1	1	2.364	X	X
A257	<i>Nitzschia palea</i> var. <i>debilis</i> (Kützing) Grunow in Cleve et Grunow	3	2	2	3	1	2	5	2	1	1	2.200	X	d
A259	<i>Nitzschia cf. paleacea</i> Grunow in Van Heurck	4	1	2	3	2	1	1	5	2	1	2.091	X	c
A260	<i>Nitzschia scaphelliformis</i> (Grunow) Grunow in Cleve et Grunow	4	3	3	1	1	5	1	2	1	2.333	X		
A246	<i>Nitzschia semirobusta</i> Lange-Bertalot	4	1	3	1	1	5	1	1	1	2.000	X	X	
A261	<i>Nitzschia sicula</i> (Castracane) Hustedt var. <i>sicula</i>	4	1	2	3	3	1	5	1	1	1	2.200	X	
A262	<i>Nitzschia sigma</i> (Kützing) Wm. Smith	4	8	3	1	1	5	1	2	1	2.889	X	X	
A264	<i>Nitzschia socialis</i> var. <i>massiliensis</i> Grunow in Cleve et Grunow	4	8	3	1	1	5	1	1	1	2.778	X		

APÉNDICE 1 (Continuación)

Composición y valores indicadores de las algas microscópicas del río Tehuantepec, Oaxaca

A289	<i>Pseudo-nitzschia pseudodelicatissima</i> (Hasle) Hasle in Hasle et Syvertsen	4	9	3	1	3	5	1	1	1	3.111	X	
A165	<i>Cylindrothecea clasterium</i> (Ehrenberg) Reimann et Lewis Familia Rhopalodiaceae (Karsten) Topachev's'kyj et Oksiyuk	4	8	3	1	1	5	1	1	1	2.778	X	
A294	<i>Rhopalodia gibba</i> (Ehrenberg) O. Müller	5	2	3	2	1	2	5	2	1	1	2.400	X
A295	<i>Rhopalodia gibberula</i> (Ehrenberg) O.F Müller Familia Entomoneidiaceae Reimer in Patrick et Reimer	4	2	3	1	1	5	1	1	1	2.111	X	
A186	<i>Entomoneis alata</i> (Ehrenberg) Ehrenberg Familia Suriellaceae Kützing	4	8	3	1	2	5	1	2	1	3.000	X	
A305	<i>Suriella tenera</i> Gregory División: Chlorophyta	4	3	3	1	1	5	1	1	1	2.222	X	
	Familia Asteromondaceae Péterfi in Péterfi et Ionescu											c	
A386	<i>Aulacomonas submarina</i> Skuja Familia Polyblepharidaceae (Blackman et Tansley) Oltmanns	4	8	2	1	3	5	1	2	1	3.000	X	
A479	<i>Spermatozopsis exilans</i> Korschikoff Familia Chlamydomonadaceae G.M. Smith	4	3	2	3	1	3	5	1	3	1	2.636	X
A387	<i>Carteria cordiformis</i> (Carter) Diesing	2	1	3	1	1	5	1	1	1	1.778	X	
A388	<i>Carteria klebsii</i> (Dangeard) Dill	4	4	2	3	2	3	5	3	1	1	2.727	c
A394	<i>Chlamidomonas globosa</i> Snow	4	1	2	2	3	1	1	5	1	1	2.000	X
A395	<i>Chlamidomonas cf. pseudopertyi</i> Pascher	4	3	3	4	1	1	5	1	2	1	2.500	c
A396	<i>Chlamidomonas snowii</i> Printz	4	1	2	3	1	1	5	1	1	1	2.000	c
A425	<i>Haematococcus lacustris</i> (Girod.) Rostafinski	4	3	2	1	1	5	1	1	1	2.111	c	
A404	<i>Chlorogonium acutiformis</i> (Matw.) Bourrelly	4	3	2	3	1	3	5	1	2	1	2.500	X
A405	<i>Chlorogonium fusiforme</i> Matw.	4	2	3	1	3	5	1	1	1	2.333	X	

APÉNDICE 1 (Continuación)

Composición y valores indicadores de las algas microscópicas del río Tehuantepec, Oaxaca

A391	Familia Phacotaceae (Butschli) Olmstams	4	1	2	3	1	5	1	3	1	2.333	a
A449	<i>Phacotus lenticularis</i> (Ehrenberg) Stein	4	3	2	3	3	1	5	2	4	1	bc
A385	<i>Arnoldiamonas ocellata</i> Skvortzow	4		3		1	3	5	1	2	1	bc
	Familia Chlorococaceae Blackman et Tansley											
A483	<i>Tetraedron minimum</i> (A. Braun) Hansgirg	4	3	2	3	3	1	3	5	1	1	2.455
A484	<i>Tetraedron muticum</i> (A. Braun) Hansgirg	4	1		3		1	1	5	1	2	X
A485	<i>Tetraedron pentadricum</i> West et West	4	1	2	3		1	3	5	1	2	2.111
A487	<i>Tetraedron regulare</i> var. <i>incus</i> Teiling	4		2		1	3	5	1	1	1	2.300
A488	<i>Tetraedron tumidulum</i> (Reinsch) Hansgirg	4	2		3		1	3	5	1	1	2.250
A478	<i>Schroederia setigera</i> (Schröder) Lemmermann	4	3		2	3	1	3	5	1	1	2.333
A392	<i>Characium ambiguum</i> Hermann	4		3		1	1	5	1	1	1	2.400
	Familia Chlorellaceae (Wille) Brunthaler											c
A400	<i>Chlorella vulgaris</i> Beijerinck	4	2		3	4	1	1	5	1	1	2.300
A421	<i>Golenkinia paucispina</i> West et West	4			3		1	3	5	1	1	2.375
A422	<i>Golenkinia radiata</i> (Chodat) Wille	4	2		3	3		3	5	1	1	2.400
A441	<i>Nannochloris bacillaris</i> Naumann	4		3		3	1	3	5	1	1	2.375
	Familia Oocystaceae Bohlin											bc
A443	<i>Oocystys parva</i> West et West	4	2		3	3	1	3	5	2	3	1
A430	<i>Chodatella longisepta</i> (Lemmermann) Printz	4	1		2	3	1	3	5	1	1	2.200
A431	<i>Chodatella quadrisepta</i> (Lemmermann) G.M. Smith	4	3	2	3	3	1	3	5	1	2	2.545
A403	<i>Chodatellopsis elliptica</i> Korschikoff	4	1	2	3		2	3	5	2	1	2.400
A490	<i>Trenbaria setigerum</i> (Archer) G.M. Smith	4	3		3	3	1	1	5	1	1	2.300
A442	<i>Nephrocystum agarhanum</i> Nägeli	4	3	2	3	2	1	3	5	1	2	2.455

APÉNDICE 1 (Continuación)

Composición y valores indicadores de las algas microscópicas del río Tehuantepec, Oaxaca

A427	<i>Kirchneriella contorta</i> (Schmidle) Bohlin	4	2	3	3	1	3	5	1	1	1	2.400	X	X	
A428	<i>Kirchneriella elongata</i> G.M. Smith	4		2		1	3	5	1	1	1	2.250		c	
A432	<i>Kirchneriella lunaris</i> (Kirchner) Möbius var. <i>lunaris</i>	4	3		3	1	3	5	1	1	1	2.500		cd	
A378	<i>Ankistrodesmus bilobatus</i> (Reinisch) Korschikoff	4	1	3	3	1	3	5	1	1	1	2.300	X		
A380	<i>Ankistrodesmus falcatus</i> (Corda) Ralfs var. <i>falcatus</i>	4	2	2	3	3	1	3	5	2	2	1	2.545	X	X
A381	<i>Ankistrodesmus falcatus</i> var. <i>mirabilis</i> (West et West) G.S. West	4	2	2	3	3	1	3	5	1	3	1	2.545	X	d
A382	<i>Ankistrodesmus fusiformis</i> Corda sensu Korschikoff	4	1	2	2	1	3	5	1	1	1	2.100	X		
A383	<i>Ankistrodesmus gracilis</i> (Reinisch) Korschikoff	4	1	2	2	1	3	5	1	1	1	2.100	X		
A379	<i>Monoraphidium braunii</i> (Nägeli) Komárková-Legenorová	4	1	3		1	3	5	1	2	1	2.333	X	X	
A384	<i>Monoraphidium contortum</i> (Thuret) Komárková-Legenorová	4	2	3		1	3	5	1	1	1	2.333	X		
A433	<i>Monoraphidium convolutum</i> (Corda) Komárková-Legenorová	4	4	3	3	1	3	5	1	2	1	2.700	X	c	
A435	<i>Monoraphidium griffithii</i> (Berkeley) Komárková-Legenorová	4		3	3	2	3	5	1	1	1	2.556	X		
A436	<i>Monoraphidium irregularare</i> (G.M. Smith) Komárková-Legenorová	4	4	2	3	1	3	5	1	4	1	2.800	X		
A437	<i>Monoraphidium minutum</i> (Nägeli) Komárková-Legenorová	4	3	2	3	3	1	3	5	2	5	1	2.909	X	
A438	<i>Monoraphidium pusillum</i> (Prinitz) Komárková-Legenorová	4	3		3	1	3	5	1	1	1	2.500	X	c	
A439	<i>Monoraphidium setiforme</i> (Nygaard) Komárková-Legenorová	4	1	2	3	1	3	5	1	1	1	2.200	X		
A440	<i>Monoraphidium torile</i> (West et West) Komárková-Legenorová	4	2	3	3	1	3	5	1	2	1	2.500		c	
	Familia Scenedesmaceae Olmsteds														
A409	<i>Coelastrum cambricum</i> Archer	4		2		1	3	5	1	1	1	2.250	X		
A418	<i>Crucigenia tetrapedia</i> (Kirchner) West et West	4	2	3	3	1	3	5	1	1	1	2.400	X		

APÉNDICE 1 (Continuación)

Composición y valores indicadores de las algas microscópicas del río Tehuantepec, Oaxaca

A419	<i>Crucigenia truncata</i> G.M. Smith	4	1	3	1	3	5	1	1	1	2.222	X
A450	<i>Scenedesmus abundans</i> (Kirchner) Chodat	4	3	2	3	3	1	3	5	1	1	2.455 X X
A451	<i>Scenedesmus acuminatus</i> (Lagerheim) Chodat	4	2	2	3	3	1	3	5	1	1	2.545 X
A452	<i>Scenedesmus acutiformis</i> Schröder	4				3	3	1	3	5	1	1
A454	<i>Scenedesmus arcuatus</i> var. <i>capitatus</i> G.M. Smith	4	7	2	1	3	5	2	2	1	3.000	d
A455	<i>Scenedesmus arcuatus</i> var. <i>playdisca</i> G.M. Smith	4	1	2	2	2	3	5	2	2	1	2.400 X d
A456	<i>Scenedesmus armatus</i> (Chodat) G.M. Smith var. <i>armatus</i>	4	1	2	3	3	2	3	5	2	1	2.455 X d
A457	<i>Scenedesmus bernardii</i> G.M. Smith	4	1	2	3	3	2	3	5	2	2	1
A458	<i>Scenedesmus bicaudatus</i> (Hansgirg) Chodat	4	1	2	2	3	1	3	5	2	2	1
A460	<i>Scenedesmus bijuga</i> (Turpin) Lagerheim var. <i>bijuga</i>	4	1	2	3	3	1	3	5	2	4	1
A459	<i>Scenedesmus bijuga</i> var. <i>alternans</i> (Reinisch) Hansgirg	4	2	2	1	3	5	1	1	1	2.222	X d
A461	<i>Scenedesmus denticulatus</i> Lagerheim	4	3	2	3	3	1	3	5	2	3	1
A462	<i>Scenedesmus dimorphus</i> (Turpin) Kützing	4	2	2	3	3	1	3	5	3	3	1
A463	<i>Scenedesmus falcatus</i> Chodat	4	8	2	1	3	5	2	2	1	3.111	X X c
A464	<i>Scenedesmus incrassatus</i> Bohlin var. <i>incrassatus</i>	4	3	2	3	1	5	2	3	1	2.667	X d
A465	<i>Scenedesmus incrassatus</i> var. <i>mononeae</i> G.M. Smith	4	1	3	1	5	1	1	1	1	2.125	d
A470	<i>Scenedesmus longispina</i> Chodat var. <i>longispina</i>	4	2	2	3	2	3	5	1	1	2.400	X X
A466	<i>Scenedesmus longus</i> Meyen var. <i>longus</i>	4	2	3	3	1	3	5	1	1	2.400	cd
A469	<i>Scenedesmus opolensis</i> var. <i>contacita</i> Prescott	4	1	2	1	3	5	1	2	1	2.222	d
A472	<i>Scenedesmus quadricauda</i> (Turpin) Bribisson et Godley var. <i>quadricauda</i>	4	2	2	3	3	1	3	5	2	4	1
A471	<i>Scenedesmus quadricauda</i> var. <i>maximus</i> West et West	4	8	2	3	1	3	5	1	2	1	3.000 X d
A474	<i>Scenedesmus quadricauda</i> var. <i>westii</i> G.M. Smith	4	1	2	3	1	3	5	1	1	1	2.200 X d
A473	<i>Scenedesmus quadrispina</i> Chodat	4	3	2	3	1	3	5	3	3	1	2.800 X X
A476	<i>Scenedesmus spinosus</i> Chodat	4	3	2	3	1	3	5	1	2	1	2.500 X c

APÉNDICE 1 (Continuación)

Composición y valores indicadores de las algas microscópicas del río Tehuantepec, Oaxaca

A482	<i>Tetradesmus smithii</i> Prescott	4	1	2	3	2	3	5	1	1	1	2.300	c	
A377	<i>Actinostrom hantzschii</i> Lagerheim var. <i>hantzschii</i>	4	3	2	3	3	1	3	5	3	2	1	2.727	X X d
A376	<i>Actinostrom hantzschii</i> var. <i>fluviale</i> Schröder	4	2	2	3	1	3	5	1	1	1	1	2.300	X X d
A489	<i>Tetrallantos lagerheimii</i> Teiling	4	1	2	3	1	3	5	1	2	1	1	2.300	X X c
	Familia Hydrodictyaceae (S.F. Gray) Dumortier orth. mut. Cohn													
A445	<i>Pediastrum boryanum</i> (Turpin) Meneghini	4	2	3	3	1	3	5	2	2	1	1	2.600	X X
A446	<i>Pediastrum duplex</i> var. <i>cohaerens</i> Bohlin	4	1	2	3	2	3	5	1	1	1	1	2.300	X X d
A448	<i>Pediastrum simplex</i> (Meyen) Lemmermann var. <i>simplex</i>	4	1	3	2	1	3	5	1	1	1	1	2.200	X X
A447	<i>Pediastrum simplex</i> var. <i>duodenarium</i> (Bailey) Rabenhorst	4	1	2	3	1	3	5	2	2	1	1	2.400	X X
	Familia Peniaceae Silva													
A406	<i>Cladophora acerosum</i> Schrank ex Ralfs	4	2	2	3	4	1	3	5	1	1	1	2.455	X X
A407	<i>Cladophora setaceum</i> var. <i>vittatum</i> Grönblad	4	1	2	3	1	3	5	1	2	1	1	2.300	X X d
	Familia Desmidaceae Ralfs sensu Silva													
A410	<i>Cosmarium contractum</i> var. <i>indentatum</i> (Grönblad) Krieger et Gerloff	4		3		1	3	5	1	1	1	1	2.375	cd
A412	<i>Cosmarium punctulatum</i> Brébisson var. <i>punctulatum</i> f. <i>punctulatum</i>	4	3	3		1	3	5	1	2	1	1	2.556	X X de
A413	<i>Cosmarium tenue</i> Archer var. <i>tenue</i>	4	3	3		1	3	5	1	1	1	1	2.444	X X cd
A480	<i>Staurostom gracile</i> Ralfs ex Ralfs	4	3	2	3	2	1	3	5	1	2	1	2.455	X X
A481	<i>Staurostom tetracerum</i> (Kützing) Ralfs	4	3	3		1	5	1	1	1	1	1	2.375	X X c
	VICA												2.519	

No.=clave del taxon, VIP=valor indicador ponderado, M=Méjico, SA=Suramérica, X=presencia, NR=nuevo registro, a=familia, b=género, c=especie, d=variedad, e=forma, VICA=valor indicador de la calidad del agua. Taxonomic composition and ecological indicator values of micro-algae from Tehuantepec River, Oaxaca (see Cuadro 1 for explanation). No.=key of taxon, VIP=pondered indicator value, M=Méjico, SA=South America, X=presence, NR=new register, a=family, b=genus, c=species, d=variety, e=form, VICA=indicator value of water quality.